

ผลกระทบของความลະເອີຍດເກ້າຄ່ານທຶນຕ່ອກມໍລັງອັດ ປຣິມາຕຣໂພຣງທັ້ງໝາດ ແລະຂະນາດໂພຣງໃນຊື່ເມນົດເພື່ອສົດ

ນິරວັດນ໌ ສິນຕີຣີ¹ ຂໍຢ ຈາດູຮັພິທັກໜັກໆ²

ມາຮວິທີຍາລັບເຕົກໂນໂລຢີພຣະຈອມເກລ້າຮັນບຸຮີ ບາງມັດ ທຸ່ງຄູ ກຽງເທັພະ 10140

ປຣິມູງງາ ຈິນດາປຣະເສຣີງ²

ມາຮວິທີຍາລັບຂອນແກ່ນ ດັນນມີຕຣາກາພ ອຳເກົມເມືອງ ຈັງຫວັດຂອນແກ່ນ 40002

ຮັບເນື້ອ 22 ເມສາຍນ 2547 ຕອບຮັບເນື້ອ 13 ສິງຫາມ 2547

ບທຄັດຍ່ອ

ບທຄວາມນີ້ນໍາເສນອພລກຮະບົບຂອງຄວາມລະເອີຍດເກ້າຄ່ານທຶນຕ່ອກມໍລັງອັດ ປຣິມາຕຣໂພຣງທັ້ງໝາດ ແລະຂະນາດໂພຣງໃນເພື່ອສົດທີ່ແຂງຕົວແລ້ວ ໂດຍນຳເກ້າຄ່ານທຶນຈາກໂຮງໄຟຟ້າແມ່ເມາະທີ່ໄມ້ໄດ້ແຍກຂະນາດມືອນຸກາຄທີ່ d_{50} ເທິກັນ 19.1 ໄມຄຣອນ ແລະເກ້າຄ່ານທຶນທີ່ຜ່ານການແຍກຂະນາດມືອນຸກາຄທີ່ d_{50} ເທິກັນ 6.41 ໄມຄຣອນ ແກ່ນທີ່ປູ່ນຊື່ເມນົດປ່ອງຕຣແລນດ໌ ປະເທດທີ່ 1 ໃນອັຕຣາສ່ວນຮ້ອຍລະ 0, 20 ແລະ 40 ໂດຍນ້ຳໜັກຂອງວັດຖຸປະສານ ຄວບຄຸມອັຕຣາສ່ວນນ້ຳຕ່ອງວັດຖຸປະສານໃຫ້ມີຄ່າເທິກັນ 0.35

ຜລກາຮດສອບພບວ່າ ເພື່ອທີ່ຜສມເກ້າຄ່ານທຶນແຍກຂະນາດໃຫ້ກໍລັງອັດສູງກວ່າເພື່ອສົດຜສມເກ້າຄ່ານທຶນທີ່ໄມ້ໄດ້ແຍກຂະນາດ ກາຮແກນທີ່ແລະຄວາມລະເອີຍດຂອງເກ້າຄ່ານທຶນມີພລກຮະບົບທີ່ສຳຄັນຕ່ອງປຣິມາຕຣໂພຣງທັ້ງໝາດແລະຂະນາດໂພຣງ ດາວໂຫຼວງຂອງເພື່ອສົດ ໂດຍກາຮແກນທີ່ປູ່ນຊື່ເມນົດປ່ອງຕຣແລນດ໌ປະເທດທີ່ 1 ດ້ວຍເກ້າຄ່ານທຶນທີ່ໄມ້ໄດ້ແຍກຂະນາດໃນອັຕຣາ ກາຮແກນທີ່ທີ່ເພີ່ມຂຶ້ນສົ່ງຜລໃຫ້ປຣິມາຕຣໂພຣງທັ້ງໝາດຂອງເພື່ອສົດເພີ່ມຂຶ້ນແຕ່ຂະນາດໂພຣງຄາປິລາວິລຶດລົງ ຂະນະທີ່ກາຮແກນທີ່ເກ້າຄ່ານທຶນທີ່ຄັດແຍກໃນເພື່ອສົດ ທຳໃຫ້ປຣິມາຕຣໂພຣງທັ້ງໝາດແລະຂະນາດໂພຣງຄາປິລາວິລຶດລົງເມື່ອເຖິງກັບເພື່ອສົດທີ່ຜສມເກ້າຄ່ານທຶນທີ່ທ່ານກວ່າ ນອກຈາກນີ້ຍັງພວ່າປຣິມາຕຣໂພຣງທັ້ງໝາດແລະຂະນາດໂພຣງຄາປິລາວິລຶດລົງ ເມື່ອແກ່ນທີ່ເກ້າຄ່ານທຶນທີ່ລະເອີຍດລົງໃນເພື່ອສົດທຸກຮະດັບຂອງກາຮແກນທີ່

¹ ນັກສຶກໜາປຣິມູງງາເອກ ກາຄວິຊາວິគຽມໂຍ້ຮາ

² ຮອງຄາສດຈາກຍົງ ກາຄວິຊາວິກຽມໂຍ້ຮາ

Effect of Fly Ash Fineness on Compressive Strength, Total Pore Volume and Pore Size of Blended Cement Paste

Theerawat Sinsiri¹ Chai Jaturapitakkul²

King Mongkut's University of Technology Thonburi, Bangmod, Toongkru, Bangkok 10140

Prinya Chindaprasirt²

Khon Kaen University, Mitrapap Rd., Maung District, Khon Kaen 40002

Received 22 April 2004 ; accepted 13 August 2004

Abstract

This paper presents an experimental investigation on the effect of fly ash fineness on compressive strength, total pore volume, and pore size of hardened blended cement pastes. Class F fly ash with two finenesses; an original fly ash and a classified fly ash with median particle size of 19.1 and 6.4 micron, respectively were used to partially replace Portland cement type I at the rate of 0, 20, and 40% by weight of binder. The water to binder ratio (W/B) of 0.35 was used for all the blended cement paste mixtures.

Tested results indicated that the blended cement paste with classified fly ash produced paste with higher compressive strength than that with original fly ash. The pore size of blended cement paste was significantly affected by the rate replacement and fineness of fly ash. The replacement of Portland cement by the original fly ash increased the total pore volume but decreased the capillary pore size of the paste. The incorporation of the classified fly ash decreased the total pore volume and the capillary pore size of the paste as compared to that with ordinary fly ash. The total pore volume and capillary pore size of the pastes decreased as a result of the addition of finer fly ash at all replacement levels.

¹ Ph.D. Candidate, Department of Civil Engineering.

² Associate Professor, Department of Civil Engineering.

1. บทนำ

คอนกรีตเป็นวัสดุที่ใช้กันอย่างแพร่หลายในงานก่อสร้างทั่วไป เช่น ถนน สะพาน อาคาร เขื่อน อุโมงค์ เป็นต้น ในการออกแบบโครงสร้างคอนกรีต นอกจากความสามารถในการด้านทนแรงทั้งหมดของโครงสร้างแล้ว ความทนทานเป็นคุณสมบัติที่ควรให้ความสนใจอย่างมาก โดยทั่วไปความทนทานของคอนกรีตจะขึ้นอยู่กับการด้านทาน การผ่านเข้าไปของสารที่ทำให้เกิดอันตรายต่อโครงสร้างจากลิ่งแวดล้อม คอนกรีตเป็นวัสดุผสมที่ซับซ้อน และเป็นวัสดุที่มีความพรุน มีโครงสร้างระดับอนุภาค (microstructure) ขนาดต่างกัน แคลเซียมชิลิกेटไฮเดรตเป็นวัสดุที่มีขนาดนาโนเมตร ขณะที่ซีเมนต์เพสต์เป็นโครงสร้างที่ระดับขนาดไมโครเมตร และเมื่อผสมทรายและหินทำให้คอนกรีตมีขนาดระดับมิลลิเมตร [1] การศึกษาโครงสร้างระดับอนุภาคของซีเมนต์เพสต์เป็นสิ่งที่สำคัญ เพราะทำให้เข้าใจพฤติกรรมของมอร์ตาร์ตัวร้ายและคอนกรีต ปริมาตรของโพรง (pore volume) และการกระจายขนาดของโพรง (pore size distribution) เป็นส่วนประกอบระดับอนุภาคที่สำคัญของซีเมนต์เพสต์ที่แข็งตัว เพราะมีผลต่อสมบัติทางด้านกายภาพของซีเมนต์เพสต์ เช่น กำลัง การดีบ การหดตัว การซึมผ่าน และความทนทาน เป็นต้น สมบัติของคอนกรีตมีความสัมพันธ์โดยตรงกับการเปลี่ยนแปลงโครงสร้างโพรงในซีเมนต์เพสต์ โครงสร้างโพรงเป็นตัวควบคุมยัตราชาระดับของก้าชและของเหลวที่ทำให้เกิดอันตรายต่อคอนกรีตจากลิ่งแวดล้อม โพรงขนาดใหญ่และโพรงคายาปิลารีมีผลกระทบที่สำคัญต่อกำลังอัดและการซึมผ่านของซีเมนต์เพสต์ ซีเมนต์เพสต์ประกอบด้วยโพรง 2 ชนิด คือ โพรงคายาปิลารี (capillary pore) มีขนาดเส้นผ่านศูนย์กลางระหว่าง 10 ถึง 10,000 นาโนเมตร และโพรงเจล (gel pore) มีเส้นผ่านศูนย์กลางเล็กกว่า 10 นาโนเมตร [2]

เพื่อทำให้คอนกรีตมีกำลังสูงขึ้น ความทนทานดีขึ้น และลดการซึมผ่านน้ำ จำเป็นต้องลดปริมาตรและขนาดโพรงในซีเมนต์เพสต์ วัสดุปูอชโซลาน (Pozzolan) ได้นำมาใช้แทนที่ในปูนซีเมนต์บางส่วนเพื่อลดการซึมผ่านลดปริมาตรและขนาดของโพรงในซีเมนต์เพสต์ กลไกการทำงานของวัสดุปูอชโซลานมี 2 ส่วนคือ ส่วนที่หนึ่งอุดช่องว่างทำให้โครงสร้างโพรงในซีเมนต์เพสต์แน่นขึ้น และส่วนที่สองทำปฏิกิริยากับแคลเซียมไฮดรอกไซด์เกิดแคลเซียมชิลิกेटไฮเดรต เป็นผลให้ปริมาตรและขนาดโพรงในซีเมนต์เพสต์ลดลง และมีผลทำให้การซึมผ่านน้ำลดลงด้วย เก้าอี้นั่นที่เป็นวัสดุเหลือทิ้งจากโรงไฟฟ้าและมีสมบัติขึ้นอยู่กับชนิดและขั้นตอนการเผาถ่านที่ในปัจจุบันประเทศไทยมีการผลิตเก้าอี้นั่นที่นิ่งมานาน 3.5 ล้านตันต่อปี มีนักวิจัยจำนวนมากศึกษาผลกระทบของเก้าอี้นั่นต่อคุณสมบัติทางกายภาพของคอนกรีต แต่มีนักวิจัยส่วนน้อยที่ศึกษาผลกระทบของเก้าอี้นั่นที่ต่อสมบัติโครงสร้างของคอนกรีตระดับอนุภาค เช่น โครงสร้างโพรง ซึ่งโครงสร้างดังกล่าวมีความสัมพันธ์กับสมบัติทางกายภาพของคอนกรีตที่ผสมเก้าอี้นั่นที่นิ่ง งานวิจัยนี้จึงสนใจที่จะศึกษาผลกระทบของความละเมียดของเก้าอี้นั่นที่ต่อสมบัติการพัฒนาがらงอัด ปริมาตร และขนาดโพรงในซีเมนต์เพสต์ ผลการศึกษาจะทำให้เข้าใจพฤติกรรมของเพสต์ผสมเก้าอี้นั่นมากขึ้น และเป็นข้อมูลพื้นฐานระดับอนุภาค เพื่อพัฒนาคอนกรีตผสมเก้าอี้นั่นให้มีความทนทานสูงและทำให้อายุการใช้งานโครงสร้างคอนกรีตยาวนานขึ้น

2. วัตถุประสงค์

การวิจัยในครั้งนี้มีวัตถุประสงค์เพื่อศึกษาผลกระทบของความละเมียดของเก้าอี้นั่นที่ต่อสมบัติการพัฒนาโครงสร้างทั้งหมด และขนาดโพรงในซีเมนต์เพสต์

3. วิธีการศึกษา

3.1 วัสดุที่ใช้ในการทดสอบ

วัสดุที่ใช้ในการศึกษาครั้งนี้ประกอบด้วย

ปูนซีเมนต์	ใช้ปูนซีเมนต์ปอร์ตแลนด์ประเภท 1 ตามมาตรฐาน ASTM C 150
เก้าอี้ถ่านหิน	ใช้เก้าอี้ถ่านหินจากโรงงานไฟฟ้าแม่مه้าที่ไม่ผ่านการแยกขนาดมีขนาดอนุภาคที่ d_{50} เท่ากับ 19.1 ไมครอน ใช้ลักษณะคือ OFA และนำมาแยกให้มีความละเอียดสูงด้วยเครื่อง air classifier มีขนาดอนุภาคที่ d_{50} เท่ากับ 6.4 ไมครอน ใช้ลักษณะคือ CFA
น้ำ	ใช้น้ำประปา

3.2 ส่วนผสมคอนกรีต

วัสดุประสาน (ปูนซีเมนต์กับเก้าอี้ถ่านหิน) ได้จากการใช้เก้าอี้ถ่านหิน OFA หรือ CFA แทนที่ปูนซีเมนต์ปอร์ตแลนด์ประเภทที่ 1 ในอัตราส่วนร้อยละ 0, 20 และ 40 โดยน้ำหนักของวัสดุประสาน และควบคุมอัตราส่วนน้ำต่อวัสดุประสานเท่ากับ 0.35 หล่อเหลาตัวอย่างรูปบล็อกขนาด $50 \times 50 \times 50$ มม.³ ตามมาตรฐาน ASTM C 109 เมื่อหล่อเสร็จจึงคุณด้วยพลาสติกเพื่อป้องกันการระเหยของน้ำ ภายหลังจากหล่อตัวอย่าง 24 ชั่วโมง จึงถอดแบบออก และนำก้อนตัวอย่างไปแช่ในน้ำที่อุณหภูมิห้องตามเวลาที่กำหนด แบ่งก้อนตัวอย่างออกเป็น 2 ส่วน ส่วนแรกนำไปทดสอบกำลังอัด ที่อายุ 7, 28, 60 และ 90 วัน และส่วนที่ 2 ทดสอบปริมาตรและขนาดโพรงที่อายุ 28 และ 90 วัน

4. ผลการทดสอบและวิเคราะห์ผล

4.1 สมบัติของวัสดุประสาน

ตารางที่ 1 แสดงสมบัติทางกายภาพของวัสดุประสาน พนวณว่าปูนซีเมนต์มีค่าความถ่วงจำเพาะเท่ากับ 3.15 เก้าอี้ถ่านหินที่ปรับปรุงคุณภาพโดยแยกขนาดให้มีความละเอียดมากขึ้นทำให้ความถ่วงจำเพาะเพิ่มขึ้นอย่างชัดเจนจาก 2.33 เป็น 2.54 ส่วนความละเอียดของเก้าอี้ถ่านหินที่แยกขนาด CFA มีค่าเท่ากับ 5,070 ชม.²/ก. ในขณะที่ความละเอียดของเก้าอี้ถ่านหินที่ไม่ได้ผ่านการแยกละเอียดและปูนซีเมนต์มีค่าเป็น 3,570 และ 3,050 ชม.²/ก. ตามลำดับ รูปที่ 1 แสดงการกระจายตัวของวัสดุประสาน พนวณว่าหลังจากการแยกเก้าอี้ถ่านหินให้มีความละเอียดมากขึ้น เก้าอี้ถ่านหินมีขนาดอนุภาคเฉลี่ยลดลงจาก 19.1 ไมครอนเป็น 6.4 ไมครอน ลักษณะผิวของเก้าอี้ถ่านหินที่ไม่ผ่านการแยกขนาดส่วนมากมีรูปร่างกลม มีบางอนุภาคที่มีขนาดอนุภาคที่ใหญ่ถึง 150 ไมครอน โดยผิวของขนาดอนุภาคที่ใหญ่จะไม่เรียบ มีรูปร่างไม่แน่นอน ดังแสดงในรูปที่ 2(ข) ขณะที่เก้าอี้ถ่านหินที่ผ่านการแยกขนาดมีรูปร่างกลมมน ผิวเรียบ ดังในรูปที่ 2(ข) ซึ่งผลการศึกษาครั้งนี้สอดคล้องกับผลการศึกษาของ Angsuwattana และคณะ [3] ที่พบว่าเก้าอี้ถ่านหินจากโรงงานผลิตกระแสไฟฟ้าแม่مه้าที่ผ่านการแยกด้วยเครื่อง air classifier เป็นเก้าอี้ถ่านหินที่มีความละเอียดสูงและยังคงมีรูปร่างกลมมน ส่วนปูนซีเมนต์มีลักษณะเป็นเหลี่ยมมุมรูปร่างไม่แน่นอน (รูป 2ก)

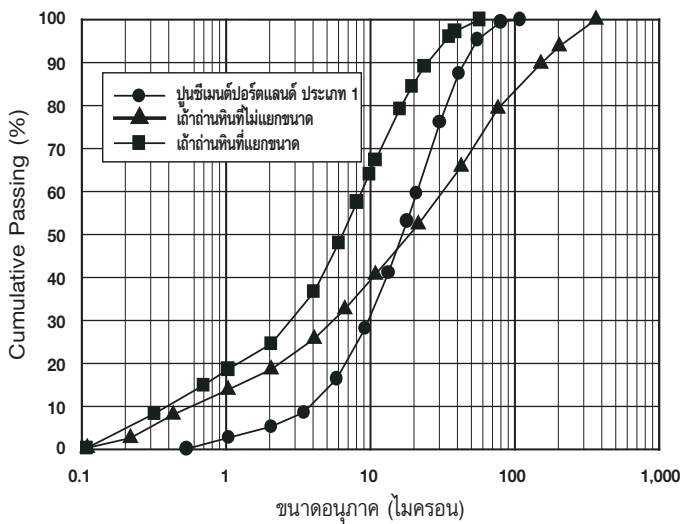
ตารางที่ 2 แสดงองค์ประกอบทางเคมีของวัสดุประสาน พบว่าถ้าถ่านหินที่ไม่ผ่านการแยกขนาดและผ่านการแยกขนาด มีองค์ประกอบทางเคมีใกล้เคียงกันและจัดอยู่ใน Class F ตาม ASTM C 618 เนื่องจากมีผลรวมองค์ประกอบทางเคมีของ SiO_2 , Al_2O_3 และ Fe_2O_3 เท่ากับร้อยละ 83.39 และ 80.61 ตามลำดับ ซึ่งมากกว่าร้อยละ 70 มีค่า LOI (Loss On Ignition) และปริมาณ SO_3 ไม่เกินร้อยละ 6 และ 5 ตามลำดับ

ตารางที่ 1 สมบัติทางกายภาพของวัสดุประสาน

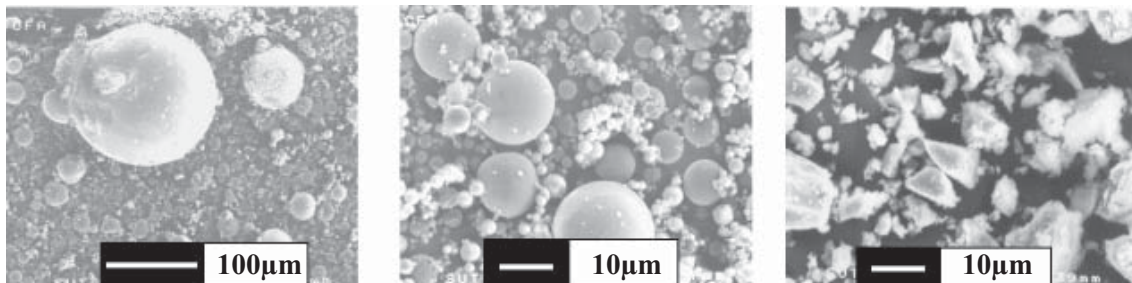
สมบัติทางกายภาพ	ปูนซีเมนต์	ถ้าถ่านหินที่ไม่ผ่านการแยกขนาด	ถ้าถ่านหินที่ผ่านการแยกขนาด
ค่าความถ่วงจำเพาะ	3.15	2.33	2.54
Retained on Sieve No. 325 (%)	4.8	31.0	0.0
ความละเอียด (ซม. ² /ก.)	3,570	3,050	5,070
ขนาดอนุภาคเฉลี่ย d_{50} (ไมครอน)	14.1	19.1	6.4

ตารางที่ 2 องค์ประกอบทางเคมีของวัสดุประสาน

องค์ประกอบทางเคมี	ปูนซีเมนต์ ประเภท 1	ถ้าถ่านหินที่ไม่ ผ่านการแยกขนาด	ถ้าถ่านหินที่ ผ่านการแยกขนาด
SiO_2	20.90	45.69	44.72
Al_2O_3	4.76	24.59	23.69
Fe_2O_3	3.41	11.26	11.03
SO_3	2.71	1.57	1.28
CaO	64.41	12.15	12.67
MgO	1.25	2.87	2.63
Na_2O	0.24	0.07	0.07
K_2O	0.35	2.66	2.87
Loss On Ignition	0.39	1.23	1.42
$\text{SiO}_2 + \text{Al}_2\text{O}_3 + \text{Fe}_2\text{O}_3$	-	83.39	80.61



รูปที่ 1 การกระจายตัวของอนุภาคของวัสดุประสาน



ก. เถ้าถ่านหินไม่ได้แยกขนาด

ข. เถ้าถ่านหินแยกขนาด

ค. ปูนซีเมนต์

รูปที่ 2 ภาพขยายกำลังสูงของวัสดุประสาน

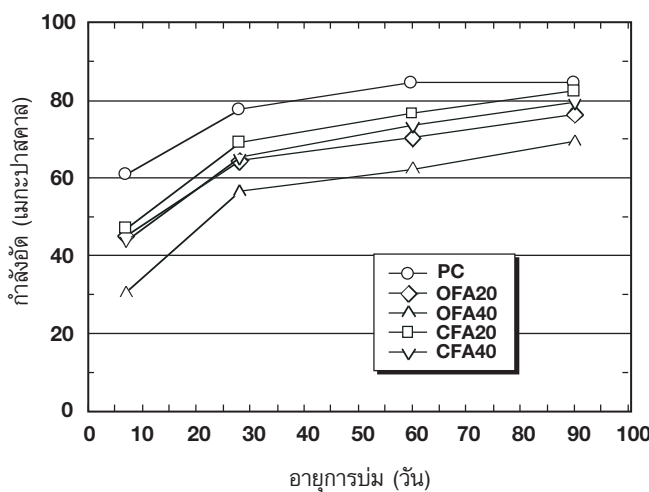
4.2 กำลังอัดของเพสต์

ผลทดสอบกำลังอัดแสดงไว้ในรูปที่ 3 พ布ว่า กำลังอัดของเพสต์ OFA และ CFA ทุกอัตราส่วนให้กำลังอัดต่ำกว่าซีเมนต์เพสต์ และเมื่ออัตราการแทนที่ด้วย OFA และ CFA เพิ่มขึ้น ค่าของกำลังอัดของเพสต์ ก็ลดลงทุกอย่างของการบ่มจนถึง 90 วัน แต่มีแนวโน้มว่า กำลังอัดของเพสต์ที่ผสมเถ้าถ่านหินจะสูงกว่าซีเมนต์เพสต์ เมื่อมีอายุมากขึ้น โดยเฉพาะอย่างยิ่งเพสต์ที่ผสมเถ้าถ่านหินที่ผ่านการแยกขนาด

ที่อายุ 7 วัน กำลังอัดของเพสต์ OFA20 และ OFA40 มีค่าเท่ากับ 45.2 และ 30.6 เมกะปาสคัล โดยที่ซีเมนต์เพสต์มีค่ากำลังอัดเท่ากับ 60.9 เมกะปาสคัล ขณะที่เพสต์ CFA20 และ CFA40 มีค่ากำลังอัดเท่ากับ 47.2 และ 44.1 เมกะปาสคัล ตามลำดับ และเมื่อเปรียบเทียบปริมาณการแทนที่ที่เท่ากัน พ布ว่า กำลังอัดของเพสต์ที่ผสมเถ้าถ่านหินที่มีขนาดเล็กมีค่าสูงกว่าเพสต์ที่ผสมเถ้าถ่านหินที่มีขนาดใหญ่ เช่น กำลังอัดของเพสต์ CFA20 และ OFA20 มีค่าเท่ากับ 47.2 และ 45.2 เมกะปาสคัล ส่วนเพสต์ CFA40 และ OFA40 มีค่าเท่ากับ

44.1 และ 30.6 เมกะปาสคัล ตามลำดับ เมื่ออายุของเพลสต์เพิ่มเป็น 28 และ 60 วัน พนว่ามีแนวโน้มการพัฒนากำลังอัดของเพลสต์เพิ่มขึ้นกับที่อายุ 7 วัน

ที่อายุ 90 วัน ค่ากำลังอัดของเพลสต์ OFA20, OFA40, CFA20, และ CFA40 มีค่าเท่ากับ 74.5, 61.4, 81.4, และ 78.5 เมกะปาสคัล ตามลำดับ และยังคงต่อกราว่ากำลังอัดของชีเมนต์เพลสต์ซึ่งเท่ากับ 84.8 เมกะปาสคัล ในการนีของเพลสต์ที่ผสมเด็กถ่านหินทั้งหมดพบว่าเพลสต์ CFA20 ให้กำลังอัดสูงสุด และมีแนวโน้มที่จะให้กำลังอัดสูงกว่าชีเมนต์เพลสต์เมื่ออายุมากขึ้น ในทางตรงกันข้ามเพลสต์ OFA40 ให้กำลังอัดต่ำสุด เพราะขนาดของอนุภาคที่ใหญ่และมีอัตราส่วนการแทนที่ที่สูง



รูปที่ 3 กำลังอัดของชีเมนต์เพลสต์, เพลสต์ OFA, และ เพลสต์ CFA

ที่อัตราส่วนน้ำต่อวัสดุประisan = 0.35

หมายเหตุ :	PC	= ชีเมนต์เพลสต์ที่ใช้ปูนชีเมนต์ปอร์ตแลนด์ประเภทที่ 1
	OFA20, OFA40	= เพลสต์ที่ผสมเด็กถ่านหินที่ไม่ได้แยกขนาด (OFA) ในอัตราส่วนร้อยละ 20 และ 40 ตามลำดับ
	CFA20, CFA40	= เพลสต์ที่ผสมเด็กถ่านหินที่แยกขนาด (CFA) ในอัตราส่วนร้อยละ 20 และ 40 ตามลำดับ

ผลการทดสอบสามารถสรุปได้ว่า เมื่อมีการแยกขนาดของเด็กถ่านหินให้มีขนาดเล็กลง กำลังอัดและการพัฒนา กำลังอัดของเพลสต์มีค่าเพิ่มขึ้น สาเหตุที่ทำให้กำลังอัดแตกต่างกัน เนื่องจากปัจจัย 3 ประการ ประการแรกคือ ขนาดอนุภาคของเด็กถ่านหินที่แตกต่างกัน เพราะเด็กถ่านหินที่มีขนาดเล็กจะมีพื้นที่ผิวในการทำปฏิกิริยาปอชโซลันได้เร็ว และมากกว่าเด็กถ่านหินที่มีขนาดใหญ่ ประการที่สอง เนื่องจากผลของการอัดตัว (packing effect) ของอนุภาค เพราะเด็กถ่านหินที่มีขนาดเล็กและมีความละเอียดสูง จะแทรกอยู่ในโครงของเพลสต์ ทำให้เพลสต์แน่นขึ้น เป็นผลให้ กำลังอัดสูงขึ้น และประการที่สาม ผลจากการกระจายตัวของเด็กถ่านหินในเพลสต์ทำให้เกิดกระบวนการ Nucleation กระตุ้นให้เกิดปฏิกิริยาไขเดรชันได้ดีขึ้น สอดคล้องกับงานวิจัยที่ผ่านมาของ Erdogan และ Turker [4] Slanicka

[5] Paya และคณะ [6] และ Jaturapitakkul และคณะ [7] ชี้งบว่าเมื่อนำถ่านหินมาแยกให้มีความละเอียดต่างกัน มองตัวร์หรือคอนกรีตที่ผสมถ่านหินที่มีความละเอียดสูง จะมีค่ากำลังอัดสูงกว่ามองตัวร์หรือคอนกรีตที่ผสมด้วยถ่านหินที่หยาบ

4.3 ผลกระทบของความละเอียดถ่านหินต่อการกระจายขนาดโพรง

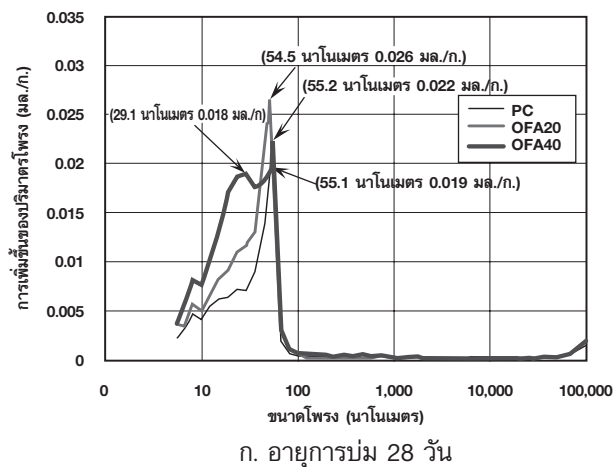
รูปที่ 4ก และ 4ข แสดงความลับพันธุ์ระหว่างขนาดโพรงและการเพิ่มขึ้นของปริมาตรโพรงในชีเมนต์เพลสต์, เพลสต์ OFA20, และ OFA40 ที่อายุ 28 วัน และ 90 วัน ตามลำดับ ในขณะที่รูปที่ 5ก และ 5ข แสดงความลับพันธุ์ระหว่างขนาดโพรงและการเพิ่มขึ้นของปริมาตรโพรงในชีเมนต์เพลสต์, เพลสต์ CFA20, และ CFA40 ที่อายุ 28 วัน และ 90 วัน ตามลำดับ พบว่าเพลสต์ CFA20 และ CFA40 มีขนาดโพรงคายีลารีลดลงเมื่อเปรียบเทียบกับเพลสต์ OFA20 และ OFA40 พิจารณาที่อายุ 28 วัน จุดยอดโพรงคายีลารีของเพลสต์ CFA20 และ CFA40 มีค่าเท่ากับ 50.4 นาโนเมตร ที่การเพิ่มขึ้นของปริมาตรโพรง 0.0266 มล./ก. และ 44.7 นาโนเมตร ที่การเพิ่มขึ้นของปริมาตรโพรง 0.0195 มล./ก. ตามลำดับ ในขณะที่เพลสต์ OFA20 มีค่าเท่ากับ 54.5 นาโนเมตร ที่การเพิ่มขึ้นของปริมาตรโพรง 0.026 มล./ก. และ OFA40 มีค่าเท่ากับ 55.1 นาโนเมตร ที่การเพิ่มขึ้นของปริมาตรโพรง 0.019 มล./ก. ที่จุดยอดจุดที่หนึ่ง และ 29.1 นาโนเมตร ที่การเพิ่มขึ้นของปริมาตรโพรง 0.018 มล./ก. ที่จุดยอดจุดที่สองตามลำดับ ในช่วงอายุต้นกล่าวได้ว่าภูมิริยาที่เกิดขึ้นจะเป็นภูมิริยาไอยเดรชันเป็นหลัก ส่วนภูมิริยาบอชโซลานจากถ่านหินเกิดขึ้นน้อย ดังนั้นมีการแทนที่ถ่านหินในปริมาณและขนาดที่เหมาะสมจะช่วยลดขนาดโพรงคายีลารีลงได้ โดยอาศัยอนุภาคขนาดเล็กช่วยอุดโพรงในเพลสต์

ที่อายุ 90 วัน พบว่ามีจุดยอดขนาดโพรง 2 จุดที่ซัดเจน จุดแรกแสดงขนาดโพรงที่ใหญ่กว่า 10 นาโนเมตรเรียกว่าโพรงคายีลารี และจุดที่ 2 แสดงขนาดโพรงที่เล็กกว่า 10 นาโนเมตรเรียกว่าโพรงเจล เช่น จุดยอดจุดที่หนึ่งและสองของโพรงคายีลารีของเพลสต์ CFA20 มีค่าเท่ากับ 29.0 นาโนเมตร ที่การเพิ่มขึ้นของปริมาตรโพรง 0.0204 มล./ก. และ 15.3 นาโนเมตร ที่การเพิ่มขึ้นของปริมาตรโพรง 0.0114 มล./ก. ในขณะที่เพลสต์ OFA20 มีค่าเท่ากับ 36.0 นาโนเมตร ที่การเพิ่มขึ้นของปริมาตรโพรง 0.009 มล./ก. ที่จุดยอดจุดที่หนึ่ง และ 15.3 นาโนเมตร ที่การเพิ่มขึ้นของปริมาตรโพรง 0.01 มล./ก. ที่จุดยอดจุดที่สอง ตามลำดับ และพบว่าขนาดโพรงคายีลารีของเพลสต์ผสมถ่านหินมีขนาดเล็กลงเมื่อมีการแทนที่ถ่านหินในปริมาณที่เพิ่มขึ้นและอายุของเพลสต์เพิ่มขึ้นสอดคล้องกับงานวิจัยของ Poon และคณะ [8, 9] และ Chindaprasirt และคณะ [10] นอกจากนี้ยังพบว่าเพลสต์ผสมถ่านหินที่มีความละเอียดสูงมีขนาดโพรงคายีลารีของเพลสต์ลดลงด้วย เมื่อเปรียบเทียบกับเพลสต์ผสมถ่านหินที่หยาบกว่า

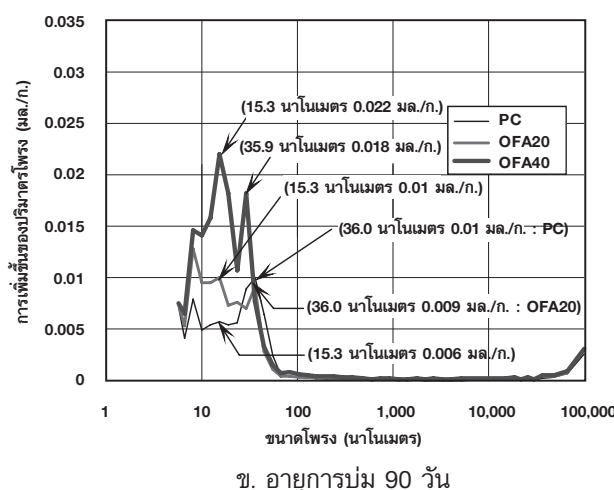
4.4 ผลกระทบของความละเอียดถ่านหินต่อปริมาตรโพรง

รูปที่ 6 แสดงปริมาตรโพรงทั้งหมดของเพลสต์ที่อายุ 28, 60, และ 90 วัน พบว่าปริมาตรโพรงทั้งหมดของเพลสต์ CFA20 ที่อายุ 28, 60, และ 90 วัน มีค่าเท่ากับ 138.5, 108.8, และ 88.75 มม.³/ก. ต่ำกว่าเพลสต์ OFA20 ซึ่งมีค่าเท่ากับ 140.8, 125.9, และ 101.3 มม.³/ก. ที่อายุเดียวกัน ตามลำดับ ในขณะที่ปริมาตรโพรงทั้งหมดของชีเมนต์เพลสต์มีค่าเท่ากับ 120.1, 86.6, และ 82.8 มม.³/ก. ที่อายุ 28, 60, และ 90 วัน ตามลำดับ สำหรับการแทนที่ถ่านหินร้อยละ 40 พบว่าปริมาณโพรงทั้งหมดของเพลสต์ CFA40 ที่อายุ 28, 60, และ 90 วัน มีค่าเท่ากับ 159.0, 145.5, และ 138.7 มม.³/ก. ในขณะที่เพลสต์ OFA40 มีค่าเท่ากับ 174.2, 160.8, และ 155.4 มม.³/ก. ที่

อายุเดียวกัน การทดลองครั้งนี้สามารถสรุปได้ว่า ปริมาตรโพรงทั้งหมดของเพล็ตที่ผสมเก้าถ่านทินทุกอัตราส่วนการแทนที่มีค่าสูงกว่าชีเมนต์เพล็ต และมีค่าสูงขึ้นเมื่อร้อยละการแทนที่เพิ่มขึ้น เนื่องมาจากช่องว่างที่สูงขึ้นระหว่างอนุภาคของเก้าถ่านทินและรูพรุนในอนุภาคบางส่วนของเก้าถ่านทินเอง เมื่อมีการแทนที่ในอัตราส่วนที่เพิ่มขึ้น ส่งผลให้ปริมาตรทั้งหมดของโพรงสูงขึ้นด้วย แต่เมื่อเพิ่มความละเมียดของเก้าถ่านทินพบว่าเพล็ตผสมเก้าถ่านทินที่มีขนาดเล็กทำให้ปริมาตรโพรงทั้งหมดลดลงเมื่อเทียบกับเก้าถ่านทินที่ใหญ่กว่า ปัจจัยที่ทำให้เกิดลดลงล่าวยังการแรก คือ ขนาดอนุภาคของเก้าถ่านทินที่มีขนาดเล็กและกลมซ่อนอยู่ด้านหลังของโพรงได้ดี ทำให้โครงสร้างของโพรงแน่นขึ้น ประการที่สอง คือ อนุภาคเก้าถ่านทินที่มีขนาดเล็กเมื่อผสมในเพล็ต ทำให้อนุภาคเม็ดปูนชีเมนต์สามารถกระจายตัวในเพล็ตได้ดีและสามารถล้มพังกับน้ำได้อย่างทั่วถึง ส่งผลให้เกิดปฏิกิริยาไฮเดรชันได้ดี และประการที่สาม เป็นผลเนื่องจากเก้าถ่านทินที่มีความละเมียดทำให้เกิดปฏิกิริยาปอชโซล่าได้ดีขึ้น ได้แคลเซียมชิลเกตไฮเดรตเพิ่มขึ้น ส่งผลให้ปริมาตรโพรงทั้งหมดในเพล็ตลดลง

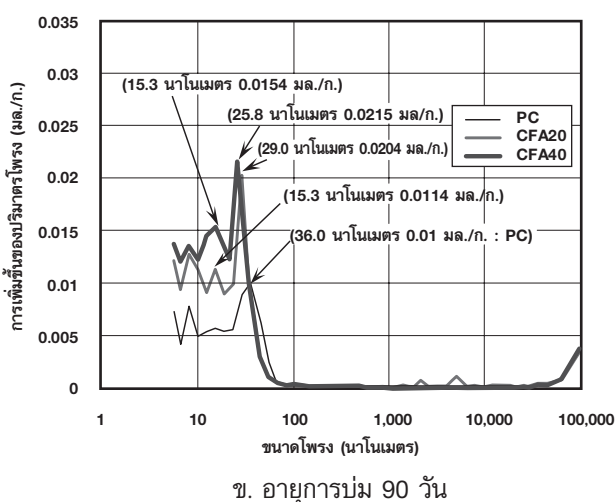
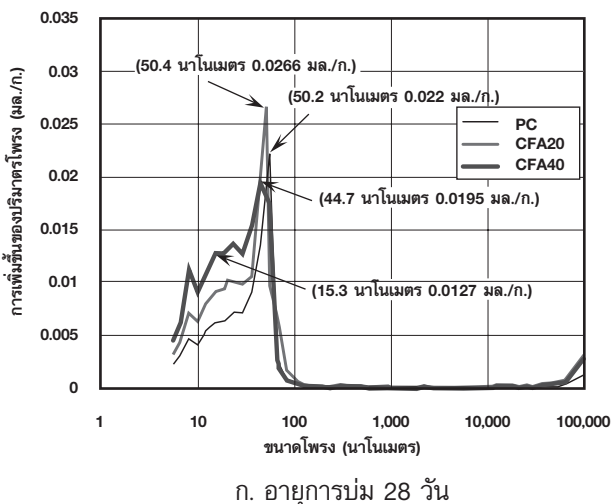


ก. อายุการบ่ม 28 วัน



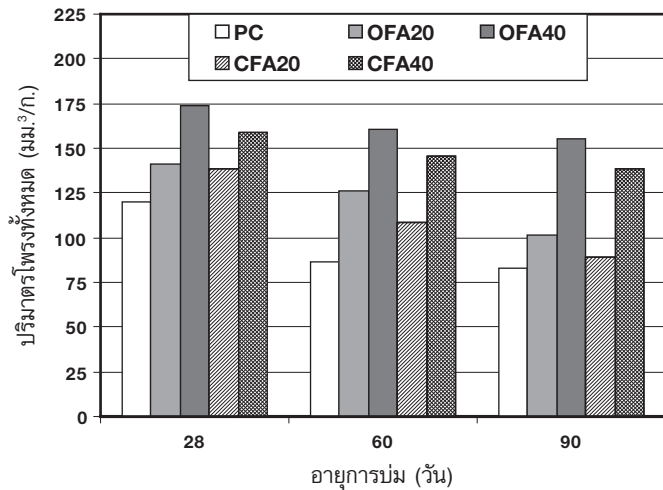
ข. อายุการบ่ม 90 วัน

รูปที่ 4 ความสัมพันธ์ระหว่างขนาดโพรงและการเพิ่มขึ้นของปริมาตรโพรงในชีเมนต์เพล็ต,
เพล็ต OFA20 และเพล็ต OFA40 ที่อัตราส่วนน้ำต่อวัสดุประสาน = 0.35



รูปที่ 5 ความสัมพันธ์ระหว่างขนาดโพรงและการเพิ่มขึ้นของปริมาตรโพรงในชีเมนต์เพลตต์ เพลตต์ CFA20 และเพลตต์ CFA40 ที่อัตราส่วนน้ำต่อวัสดุประสาน = 0.35

กรณีที่พิจารณาความสัมพันธ์ระหว่างปริมาตรโพรงทั้งหมดกับกำลังอัด พบร่วมเพลตต์ที่ผสมเด็ก้านหินในอัตราส่วนที่เพิ่มขึ้น ทำให้ปริมาตรโพรงทั้งหมดเพิ่มขึ้น ส่งผลให้ค่าของกำลังอัดของเพลตต์ลดลงด้วย (รูปที่ 3) ซึ่งสอดคล้องกับงานวิจัยของ Poon และคณะ [9] Khan และคณะ [11] และ Pandey และ Sharma [12]



รูปที่ 6 ปริมาณต่อพื้นที่หนึ่งของชิ้นงานที่มีการแน่นที่ด้วยถ่านหินจากแม่เมะ สามารถสรุปได้ดังนี้

5. สรุปผลการวิจัย

- จากการศึกษาเพลสต์ของปูนซีเมนต์ที่มีการแน่นที่ด้วยถ่านหินจากแม่เมะ สามารถสรุปได้ดังนี้
- การแน่นที่ถ่านหินที่ไม่ได้แยกขนาดในอัตราส่วนที่เพิ่มขึ้นในซีเมนต์เพลสต์ ทำให้ปริมาณต่อพื้นที่หนึ่ง สูงขึ้น ล่งผลให้ค่ากำลังอัดต่ำลง
 - การแน่นที่ถ่านหินที่แยกขนาดให้มีขนาดเล็ก จะทำให้ขนาดโดยรวมค้าปิลลารีและปริมาณต่อพื้นที่หนึ่งของเพลสต์ต่ำลงเมื่อเทียบกับถ่านหินที่ใหญ่กว่า และมีผลทำให้กำลังอัดสูงขึ้น
 - เพลสต์ผสมถ่านหินที่มีขนาดเล็ก ทำให้เพลสต์มีความสม่ำเสมอและแน่นขึ้น เนื่องจากผลของการกระจายตัวที่ดีในเพลสต์ ช่วยกระตุ้นการเกิดปฏิกิริยาไอเดรชัน (Nucleation Effect) มีการอุดช่องว่างในเพลสต์ได้ดี และทำปฏิกิริยาปอชโซลานได้ดีกว่าเพลสต์ที่ผสมถ่านหินที่ใหญ่

6. กิตติกรรมประกาศ

การวิจัยนี้ได้รับการสนับสนุนจากสำนักงานคณะกรรมการการอุดมศึกษา ภายใต้โครงการพัฒนาอาจารย์สาขาวาදแคลนเพื่อศึกษาภัยในประเทศ ตามความต้องการของมหาวิทยาลัยเทคโนโลยีสุรนารี และสำนักงานกองทุนสนับสนุนงานวิจัย (สกว.) ภายใต้โครงการปริญญาเอกกาญจนากิจเชก นอกจากนี้ขอขอบคุณภาควิชาศิศวกรรมโยธา มหาวิทยาลัยเทคโนโลยีพระจอมเกล้าธนบุรี และมหาวิทยาลัยเทคโนโลยีสุรนารี ที่ให้ความล่วงหลัก ด้านอุปกรณ์ เครื่องมือ และห้องปฏิบัติการ

7. เอกสารอ้างอิง

1. Garboczi, E. J. and Bentz, D. P., 1996, "Multi-scale Picture of Concrete and Its Transport Properties: Introduction for Non-cement Research," *NISTIR 5900*, U.S., Department of Commerce.
2. Mindess, S. and Young, J. F., 1981, "Concrete," *Prentice-Hall Inc.*, Englewood Cliffs, N.J.
3. Angsuwattana, E., Jaturapitakkul, C., Kiattikomol, K., Siripanichgorn, A., and Ketratanabovorn, T., 1998, "Use of Classified Mae Moh Fly Ash in High Strength Concrete," *Supplementary Paper of the Sixth CANMET/ACI International Conference on Fly Ash, Silica Fume, Slag, and Natural Pozzolans in Concrete*, Bangkok, Thailand, pp. 49-60.
4. Erdogan, K. and Turker, P., 1998, "Effect of Fly Ash Particle Size on Compressive Strength of Portland Cement Fly Ash Mortars," *Cement and Concrete Research*, Vol. 28, No. 9, pp. 1217-1222.
5. Slanicka, S., 1991, "The Influence of Fly Ash Fineness on the Strength of Concrete," *Cement and Concrete Research*, Vol. 21, Nos. 2/3, pp. 285-296.
6. Paya', J., Monzo', J., Peris-Mora, E., Borrachero, M. V., Tercero, R., and Pinillos, C., 1995, "Early-strength Development of Portland Cement Mortars Containing Air Classified Fly Ash," *Cement and Concrete Research*, Vol. 25, No. 6, pp. 449-456.
7. Jaturapitakkul, C., Kiattikomol, K., Siripanichgorn, A., Woranisrakul, J., Keatkrai, P., Nimityongskul, P., Chindaprasirt, P., Tangsathikulchai, C., Lertprasertwong, A., and Ketratanaborvorn, T., 1998, "Classifying and Selecting of Mae Moh Fly Ash for Using as a Cement Based Material," In : *CEPSI 12th*, Thailand, pp. 226-234.
8. Poon, C. S., Lam, L., and Wong, Y. L., 1999, "Effect of Fly Ash and Silica Fume on Interfacial Porosity of Concrete," *ACI Materials Journal*, Vol. 11, No. 3, pp. 197-205.
9. Poon, C. S., Lam, L., and Wong, Y. L., 2000, "A Study on High Strength Concrete Prepared with Large Volume of Low Calcium Fly Ash" *Cement and Concrete Research*, Vol. 30, No. 3, pp. 447-455.
10. Chindaprasirt, P., Cao, T., and Suwanvitaya, P., 2000, "Influence of Binder Type on Quality of Concrete for Durable Structures," *Regional Symposium on Infrastructure Development in Civil Engineering, Tokyo Institute of Technology*, Tokyo, Japan, pp. 581-590.
11. Khan, M. I., Lynsdale, C. J., and Waldrom, P., 1990, "Porosity and Strength of PFA/SF/OPC Ternary Blended Paste," *Cement and Concrete Research*, Vol. 20, No. 8, pp. 591-601.
12. Pandey, S. P. and Sharma, R. L., 2000, "The Influence of Mineral Additions on the Strength and Porosity of OPC Mortar," *Cement and Concrete Research*, Vol. 30, No. 1, pp. 19-23.